

WIMPy i biologiczna reakcja jądrowa w organizmie człowieka

Diana Wojtkowiak

www.torsionfield.eu

Gdańsk, 18 sierpnia 2021

Abstrakt

Wimpy stanowiące niewidoczną ciemną materię na peryferiach galaktyk wywołują tam efekty grawitacyjne. Znajdują się też w ciele człowieka, a dokładniej w czakramach. Są one generowane w biologicznej reakcji jądrowej, a reakcja ta jest realizowana z użyciem enzymów miedziowo-cynkowych. Całą grupę enzymów miedziowo-cynkowych możemy traktować jako posiadającą właściwości prionów. Są to białka tworzące coś w rodzaju kryształów o wysokiej odporności mechanicznej i odporności na radiację. Są też detektorami pól torsyjnych, odbierającymi cykle kosmiczne, wówczas wykorzystują energię komórkową na przykład z koenzymu Q do generacji cząstek wysokoenergetycznych, w tym rodników ponadtlenkowych, przez połowę kilkudziesięciominutowego cyklu. Biologiczna reakcja jądrowa produkująca WIMP-y jest odpowiedzialna za liczne uzdolnienia paranormalne, jak telekineza, gięcie łyżeczek bez użycia siły, przyciąganie metali żelaznych i nieżelaznych do ciała. Wimpy są tymi cząstkami powstającymi w reakcji, które są podejrzane o oddziaływanie z metalami nieżelaznymi na odległość i za topienie metali na zimno. Badanie osób zaszczepionych szczepionkami COVID-19 wykazały, że w ich przypadku jest silnie aktywowany ten sam enzym miedziowo-cynkowy, który znajdujemy zwykle w czakramie serca, a który w przypadku osób o naturalnej zdolności przyciągania metali jest rozproszony po dużej części ciała. Stąd nie jest dziwnym, że większość osób zaszczepionych eksperymentalną szczepionką w obszarze wklucia, albo na dużym obszarze ciała wykazuje przyciąganie przedmiotów żelaznych i nieżelaznych.

Wprowadzenie

Zjawiska parapsychiczne i paranormalne wykraczają poza rozumienie świata przez współczesnych fizyków i biologów molekularnych. Zjawiska takie jak telekineza, lewitacja czy topienie na zimno metalu, nie da się wyjaśnić elektromagnetyzmem, nie da się również wyjaśnić polami torsyjnymi i cząstkami pola torsyjnego, które nie przenoszą energii a jedynie informacje. Stąd też siłowe zjawiska parapsychiczne skłaniają do poszukiwania głębiej, w nieznanych obszarach fizyki. Na drogę do rozwiązania zagadki natrafiłam przypadkowo, próbując sprawdzić czy postulowane¹ jako ciemna materia, powolne neutrino na peryferiach galaktyk, są tam obecne w dużych ilościach. Rzeczywiście jest ich tam sporo w odległości kilka razy większej niż promień galaktyki spostrzeganej przez teleskop. To ogromna odległość kilkudziesięciu kps (1kps = 3,26 tysięcy lat świetlnych). Jednak jest tam też spora ilość neutronów. Wiemy jednak dobrze, że neutrony żyją tylko piętnaście minut, zamieniając się na protony i neutrino. Zachodzą więc tam intensywnie reakcje jądrowe. A powstające w reakcji rozpadu neutrino uciekają z prędkością bliską światła. To jednak nie jest ciemna

materia. Przy dochodzeniu do końca spektrum cząstek pola torsyjnego, którego zmierzenie zabiera dwa dni, ujawniło swoją obecność coś co jest bardzo ciężkie. W miejscu gdzie już skończyły się naturalne pierwiastki, a obecne są tylko sztuczne. Trudno jednak oczekiwać dużych ilości sztucznych pierwiastków w zimnych przestrzeniach poza galaktyką! Innym kandydatem na ciemną materię są od lat ciężkie cząstki elementarne nieoddziałujące elektromagnetycznie, a oddziałujące słabo i grawitacyjnie, którym nadano nazwę WIMP-ów (Weak Interaction Massive Particles).² Proponowana ich masa jest kilka do kilkuset razy większa od protonów. W określeniu tym mieści się więcej niż jedna teoria, a więc i więcej niż jedna hipotetyczna cząstka. Tymczasem cząstki takie pokazały się w moich doświadczeniach jako realne, a wręcz namacalnie istniejące - oddziałujące siłowo. Będące nie tylko gdzieś tam w kosmosie, ale tu na Ziemi. Nawet w naszym organizmie. Skąd jednak swobodne cząstki elementarne w naszym organizmie? Czy zostały złapane z otoczenia, czy wytworzone w naszym ciele?

K. Kervran³ opisał wiele doświadczeń pokazujących transmutacje pierwiastków w roślinach, a także u kur. Z doświadczeń sięgających połowy XIX wieku wynika, że rośliny są w stanie przeprowadzać transmutację pierwiastków gdy ich im brakuje. Na glebie ubogiej w magnez potrzebny do wyprodukowania chlorofilu wyrastają rośliny, zużywając praktycznie cały magnez z gleby. Po zebraniu całej masy roślinnej, w następnym roku plony są podobne. Po dziesięciu latach zabierania masy roślinnej rośliny dalej radzą sobie bez magnezu w glebie. Podobnie z innymi ważnymi pierwiastkami, mogą sobie je doprodukować. Kury na diecie bezwapniowej są w stanie wytwarzać normalne jajka ze skorupką z węglanu wapnia. Gdy na przykład dostają owies bogaty w krzem, krzem zostaje przetworzony na wapń. Suszone owoce mają około dwukrotnie mniej minerałów niż świeże.³ Również J. Biberian opisał wiele prac różnych autorów, a także własne, pokazujące transmutację pierwiastków w roślinach, bakteriach, drożdżach a nawet u myszy.^{4,5} Czy jednak człowiek też posiada zdolność przeprowadzania biologicznych reakcji jądrowych? Pobierając sygnał cząstek pola torsyjnego od przeciętnej osoby, na przykład z boku palca, jest widoczny sygnał od elektronów, które mogą pochodzić na przykład od aminokwasów aromatycznych, ale innych cząstek elementarnych nie widać.

Po tym wstępie możemy teraz przejść do doświadczeń, będą łatwiejsze do ogarnięcia.

Część doświadczalna

Metody

Wprawdzie w pracy tej nie zajmuję się cząstkami pola torsyjnego ani polami torsyjnymi, niemniej jednak wykorzystane zostały przeze mnie, jako doskonały przenośnik informacji o cząstkach, które nie oddziałują elektromagnetycznie. Z wcześniejszych moich badań wynika, że ze względu na uniwersalność pól torsyjnych w budowie materii, w zasadzie wszystkie cząstki elementarne oddziałują z cząstkami pola torsyjnego i mogą być obserwowane w badaniu spektroskopem cząstek pola torsyjnego. Taki spektroskop został kilka lat temu skonstruowany przeze mnie wraz ze współpracownikami i według mojej wiedzy nie ma obecnie odpowiednika w cywilnych badaniach naukowych na świecie. Dostarcza dużych ilości informacji, których nie można uzyskać innymi metodami. Przykładowo wspomniane neutrino są przez cząstki pola torsyjnego wykrywane równie dobrze jak wszystkie inne cząstki elementarne. Spektroskopia cząstek pola torsyjnego jest opisana w pracy⁶.

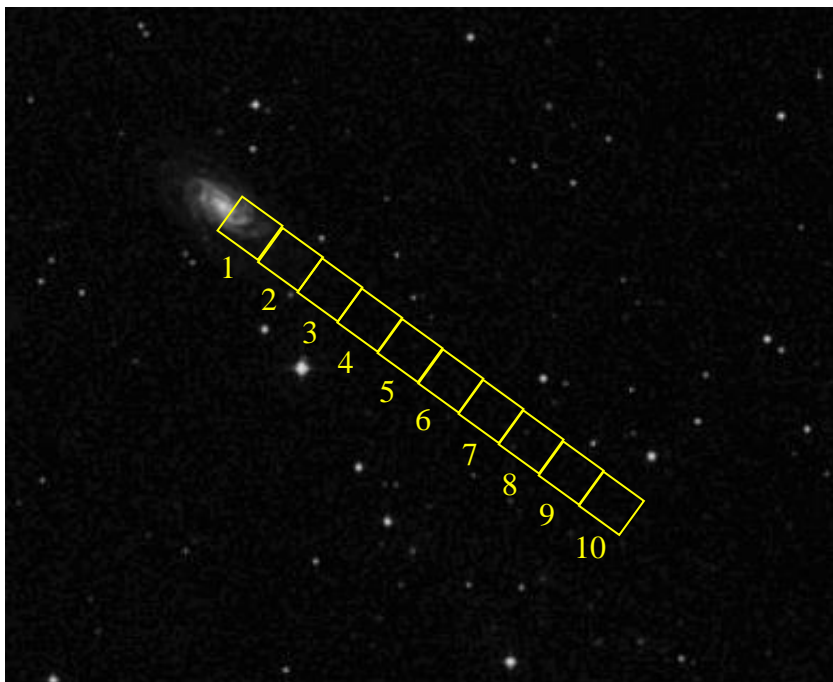
Drugim ważnym urządzeniem jest akcelerator pola torsyjnego umożliwiający przyspieszanie cząstek pola torsyjnego, a więc ich przenoszenie ze źródła na nośnik, albo też z jednego nośnika na inny.

Badania bardzo ułatwia przenoszenie poprzez fotografie informacji zawartej na cząstkach pola torsyjnego. Cząstki pola torsyjnego nie mają masy, a jednocześnie mają pewne powinowactwo do innych cząstek. Cząstki pola torsyjnego podróżują z odległej galaktyki przyklejone do fotonów światła widzialnego i podczerwieni, mogą przejść przez optykę aparatów fotograficznych lub teleskopów na fotonach, a uwolnić się od fotonów dopiero na błonie fotograficznej, wiążąc się z kolei do błony. Elektroniczne aparaty fotograficzne również przenoszą cząstki pola torsyjnego. Obraz z zawartą na cząstkach pola torsyjnego informacją można dalej przenieść przez internet. Umożliwia to wykorzystanie wszelkich zdjęć, z wyjątkiem, tych wydrukowanych w gazetach lub książkach, do uzyskiwania dużo większej ilości informacji, od tych które widzimy naszymi oczami. Stosunek sygnał/szum jest zwykle bardzo dobry. Samo uzyskiwanie ze zdjęć pozaoptycznej informacji dla badań aparaturowych jest wykorzystywane od 100 lat. Pierwszym, który to potrafił był Albert Abrams, pionier konstruowania urządzeń radionicznych.⁷

WIMP-y w kosmosie

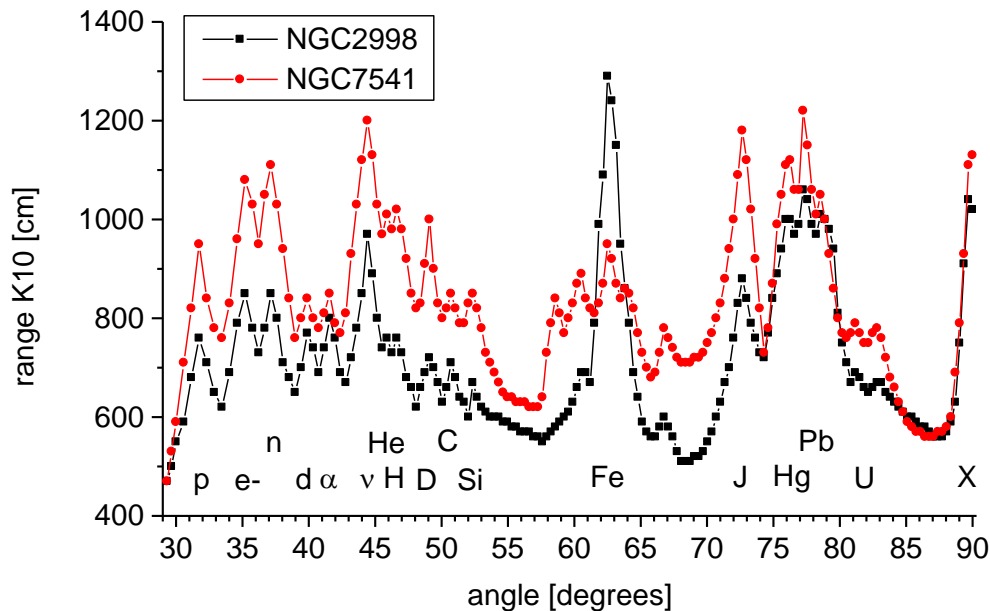
Czytając artykuł A. Parchomowa¹, w którym sugerował, że neutrina są głównym składnikiem ciemnej materii, nie musiałam wierzyć jego wywodom. Mogłam to sprawdzić spektroskopią cząstek pola torsyjnego. Wcześniej sprawdziłam tezę z innej jego publikacji⁸ w której twierdził, że z teoretycznego punktu widzenia rozgrzany do kilku tysięcy stopni metal musi emitować neutrina, czego sam nie mógł sprawdzić eksperymentalnie. Rzeczywiście, wolframowa żarówka, szczególnie gdy była przewoltowana, okazała się źródłem neutrin.

Ze zdjęcia zaczerpniętego z internetu galaktyki NGC2998, o dobrze ustalonej przez astronomów obecności ciemnej materii¹, wycięte zostały prostokąty, których zarys jest naniesiony na zdjęciu rys. 1. Z prostokątów sygnał cząstek pola torsyjnego został przeniesiony na fiołki z wodą, które następnie były badane spektroskopem.



Rys. 1. Galaktyka spiralna NGC 2998. <https://theskylive.com/sky/deepsky/ngc2998-object>

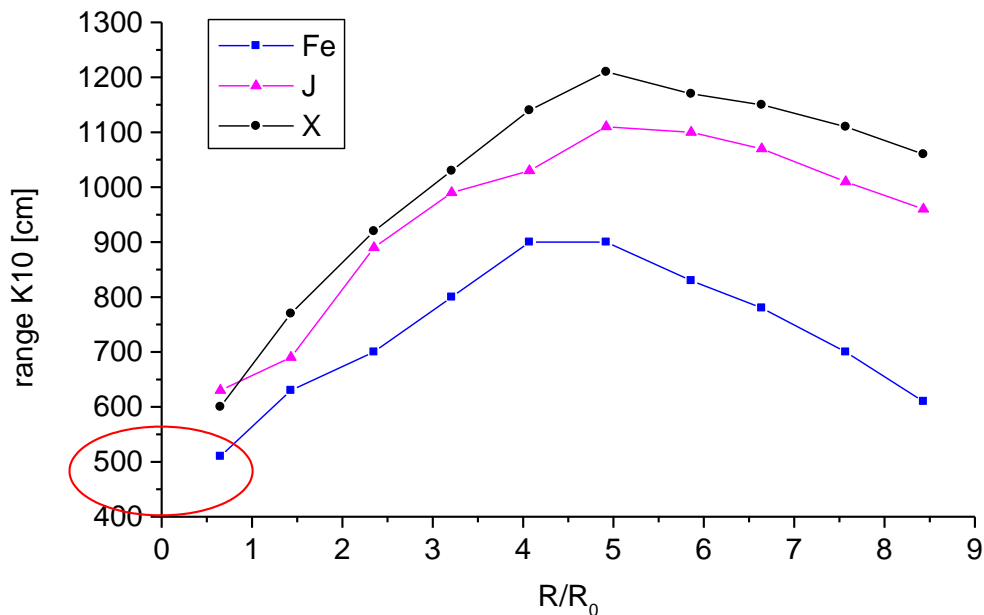
Na rys. 2 przedstawiono wykres spektrum cząstek elementarnych i pierwiastków dla prostokąta nr 5 z rys. 1. Pole to wybrano po wstępnym sprawdzeniu, że jest tam najwyższy poziom sygnału neutrin, jak też najwyższy sumaryczny sygnał cząstek pola torsyjnego.⁹



Rys. 2. Pełne spektrum dla prostokąta zaznaczonego na zdjęciu galaktyki NGC 2998 numerem 5, odpowiadającego maksymalnej obecności ciemnej materii, a także dla analogicznego prostokąta 6 galaktyki NGC 7541. Oznaczenia: p - protony, e- - elektrony, n - neutrony, d - deuterony, α - cząstki alfa, ν - neutrina, He - hel, H₂ - wodór, D₂ - deuter, C - węgiel, Si - krzem, Fe - żelazo, Br - brom, J - jod, Hg - rtęć, Pb - ołów, U - uran, X - nieznanый sygnał. Oś odciętych - kąt wiązki padającej względem płaszczyzny łamiącej mierzony w stopniach; oś rzędnych - zasięg promieniowania Kategorii K10 z próbek na wyjściu spektroskopu mierzony w centymetrach.⁹

Ze spektrów dla peryferii dwóch galaktyk widzimy, że są tam w sporej ilości neutrina. Są jednak również neutrony. Neutrony żyją zaledwie 15 minut, rozpadając się na protony elektrony i neutrina, a dokładniej antyneutrino. Tutaj jednak nie jesteśmy w stanie odróżnić neutrin od antyneutrino, więc wygodniejsze jest określenie neutrin w szerokim pojęciu. Protony i elektrony też są widoczne. Na samym końcu wykresu już na granicy możliwości rozdzielczej spektroskopu pojawił się jednak pik, który mógłby odpowiadać sztuczemu pierwiastkowi powyżej masy plutonu. Ciężkich sztucznych pierwiastków w przestrzeni kosmicznej jednak nie oczekujemy. To jednak może być inny kandydat na ciemną materię, tzw. WIMP (Weak Interaction Massive Particle). Hipotetyczna cząstka elementarna o masie kilku do kilkuset mas protonu, oddziałująca grawitacyjnie i oddziaływaniem słabym, a nie wykazująca jakichkolwiek oddziaływań elektromagnetycznych. Jest wiele naukowych publikacji teoretycznych na jej temat.^{2, 10, 11, 12} Właściwie to wspólna nazwa dla kilku cząstek różniących się nieco właściwościami.

Nasze znalezione WIMP-y są w galaktyce jeszcze dalej od jej centrum niż neutrina czy żelazo. Pokazuje to wykres rys. 3 zaczerpnięty z artykułu⁹, na którym widzimy najsilniejszy sygnał od WIMP-ów w odległości pięciu promieni obserwowanej w świetle widzialnym galaktyki NGC 2998.



Rys. 3. Intensywność sygnałów ze zdjęcia galaktyki NGC 2998 w zależności od odległości od centrum galaktyki. Niebieskie kwadraty - sygnał żelaza (Fe), fioletowe trójkąty - sygnał jodu (J), czarne kółka - sygnał nieznannej substancji X znajdującej się na samym końcu krzywych na rys. 7. Wartości względne poszczególnych sygnałów zostały zachowane. Na wykresie zaznaczono elipsą optyczną wielkość galaktyki. Oś odciętych - stosunek odległości środka pola pomiarowego od centrum galaktyki do promienia galaktyki, oś rzędnych - zasięg promieniowania Kategorii K10 z próbek na wyjściu spektroskopu mierzony w centymetrach.⁹

Jeżeli takie cząstki znajdują się na peryferiach galaktyki, nie ma przeciwwskazań żeby spróbować znaleźć je tutaj na Ziemi. Więcej, w naszych organizmach. W rozważaniach dotyczących funkcjonowania naszego organizmu do zrozumienia niewyjaśnionych zjawisk potrzebujemy co najmniej dwóch nowych cząstek. Chodzi o subtelną materię, odpowiedzialną za tworzenie wrażeń naszej świadomości zwanych w filozofii qualiami. Jest to znany problem dualizmu psychofizycznego. Kiedy nam się coś śni to w mózgu nie powstaje światło, a uczucia zupełnie nie mają odpowiednika w znanym nam świecie fizycznym poza psychiką. Druga mniej subtelna cząstka potrzebna jest do wytłumaczenia siłowych zjawisk paranormalnych takich jak telekineza, lewitacja, czy gięcie łyżeczek. Cząstki pola torsyjnego nie są w stanie udźwignąć obowiązku realizacji zjawisk siłowych, ponieważ nie przenoszą energii, a tylko informację. Są związane z bioenergoterapią i telepatią, ale nie wpływają bezpośrednio na to, co się pokazuje w naszej świadomości. W przypadku oddziaływań siłowych mamy spore prawdopodobieństwo, że mogą to być WIMP-y. Czy są w naszym organizmie? Gdzie je szukać? Może w promieniowaniu czakramu znajdującego się na czubku głowy, najbardziej związanego z kosmosem?

Proste doświadczenie polegające na przytrzymaniu przez 30s na czubku głowy fiolki z wodą a następnie sprawdzeniu na spektroskopie czy jest tam sygnał WIMP-ów, pokazało, że rzeczywiście jest. Najpierw na sobie, potem na koleżdze. Operując spektroskopem mogłam przecież napromieniować się na dłużej sygnałem z galaktyk. Wyniki tego krótkiego doświadczenia nie są tu pokazane, w dalszej części artykułu będą bardziej szczegółowe wyniki.

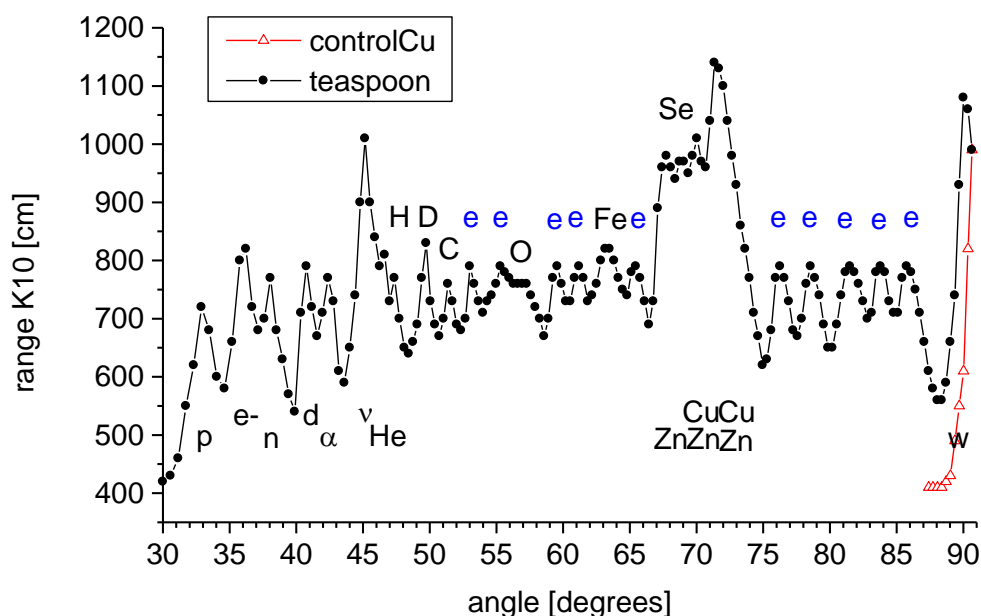
Łyżeczka

Wspomniane wyginanie łyżeczek jest dobrym przykładem siłowych zjawisk paranormalnych. Mam w posiadaniu taką łyżeczkę. Jedną z siedmiu jakie mój znajomy (S. A. W.) z Gdańska wygiął między dwoma palcami w mojej obecności w trzech oddzielnych sesjach (rys. 4). Mówił, że teraz ma moc, brał łyżeczkę poziomo w dwa palce, a końce łyżeczki po kilku, najdalej kilkunastu, sekundach opadały pod siłą grawitacji. Tak jakby metal stopił się na zimno pomiędzy palcami. To nie taka mordęga jak w przypadku Uri Gellera, który na filmie z dawnych lat, kiedy był jeszcze chłopcem, umieszczał łyżeczkę w imadélku, głaskał, skupiał się nad nią, aby dopiero po kilkunastu minutach trudu wreszcie zgięła się o trzydzieści stopni.



Rys. 4. Łyżeczka ze stali nierdzewnej zgięta przez S. A. W. z Gdańska z pomocą uzdolnień paranormalnych około roku 2000. Osoba ta po wielu latach utraciła tę zdolność.

Jako, że zastygające szkło zapamiętuje informację pola torsyjnego z otoczenia ¹³, można było przypuszczać, że utwardzający się metal, a nawet w ogóle metal przechowa informację pola o dużej intensywności. I rzeczywiście sygnał wzięty ze zgięcia łyżeczki, tam gdzie była trzymana dwoma palcami, zawiera dużą ilość informacji. Sygnał z łyżeczki został skopiowany akceleratomem pola torsyjnego na fiolkę z wodą i rozdzielony z użyciem spektroskopu cząstek pola torsyjnego. Spektrum przedstawione jest na rys. 5.



Rys. 5. Spektrum sygnału uzyskanego ze zgiętej z użyciem zdolności paranormalnych łyżeczki ze stali nierdzewnej. Czerwoną linią zaznaczono poziom tła spektroskopu, ponieważ pik WIMP-ów znajduje się blisko granicy zakresu pomiarowego. Oznaczenia: p - protony, e - elektrony, n - neutrony, d - deuterony, α - cząstki alfa, ν - neutrino, He - hel, H - wodór, D - deuter, C - węgiel, O - tlen, Fe - żelazo, Cu - miedź, Zn - cynk, Se - selen, w - WIMP-y. e - sygnał od pierścieni aminokwasów aromatycznych. Oś odciętych - kąt wiązki padającej względem płaszczyzny łamiącej mierzony w stopniach; oś rzędnych - zasięg promieniowania Kategorii K10 z próbek na wyjściu spektroskopu mierzony w centymetrach.

Na wykresie znajdujemy WIMP-y. Oprócz tego reakcję biologicznej zimnej syntezy jądrowej lub inaczej biologicznej reakcji jądrowej, w której bierze udział jako substrat śladowy deuter występujący w wodzie. Powstają neutrino, hel-4 i nasze WIMP-y. Rodzaj reakcji jądrowej nie jest oczywisty. Skoro mamy udział deuteru znajdującego się w wodzie w ilości jednego atomu na kilka tysięcy innych to oczekivalibyśmy że przereaguje z wodorem dając hel-3. Tak jednak nie jest. Nie widzimy obecności helu-3, który nie jest preferowanym produktem reakcji jądrowych. Preferowana jest cząstka α , mająca wysoką symetrię, a więc korzystną energetycznie, która dobierze sobie elektrony z otoczenia aby uzyskać zwykły hel. Skąd jednak został wzięty brakujący neutron, tego nie wiemy. Może z metalu zawartego w enzymie wytwarzającym reakcję biologicznej zimnej syntezy, albo w nieco innej reakcji. Trzecim elementem i to najciekawszym jest zapisana informacja o enzymie białkowym katalizującym reakcję jądrową. To enzym miedziowo-cynkowy. Takich enzymów nie ma dużo, znanych jest kilkadziesiąt, przy trzydziestu tysiącach genów w naszym organizmie. Poszukiwany obszar mamy więc bardzo zawężony. Dodatkowo widoczny jest sygnał selenu. Oznacza to, że w enzymie jest selenometionina lub jakaś jej modyfikacja. Nie jest to jeden z podstawowych aminokwasów. W tym przypadku siarka w metioninie jest potranslacyjnie zamieniana na selen z użyciem odpowiedniej aparatury komórkowej. To jeszcze bardziej zawęża poszukiwany obszar. Wymagać to będzie wyznaczenia z sekwencji białkowej poszczególnych enzymów miedziowo-cynkowych, w których z nich jest kod zamiany siarki na selen. Nie zawsze w publikowanych informacjach o konkretnych białkach znajdziemy czy

ktos zbadal, ze jest tam selen. Nieduza ilosc sygnalow aromatycznych oznaczonych jako e wskazuje, ze mamy tu sygnal z jednego bialka, a raczej z samej domeny aktywnej.

Bialka miedziowo-cynkowe nie sa dla mnie czymś nowym, pracujac w dziedzinie biotechnologii opracowalysmy z dr Jolanta Grzenkowicz-Wydra (wówczas magistrantka) metode uzyskiwania ludzkiej miedziowo-cynkowej dysmutazy ponadtlenkowej z genu wprowadzonego do drozdzy *Pichia pastoris*. Otrzymany preparat mial dwukrotnie wyzsza aktywnosc specyficzna w usuwaniu rodnikow ponadtlenkowych od sprzedawanej komercyjnie przez kontrolujaca swiatowy rynek odczynnikow firme Sigma. Przy znacznym stezeniu enzymu po wyplukiwaniu go z kolumny chromatograficznej, latwo bylo zauwazyc, w ktorych jest frakcjach. Frakcje te byly jasnoniebieskie od miedzi dwuwartościowej. Drugim badanym enzymem byla NADH-oksydaza CNOX czesciowo oczyszczona z mleka krowiego (mleko prosto od krowy). Jest to enzym wyjatkowy pod tym wzgledem, ze jest „zegarem kosmicznym”, ktorego dlugosc cyklu nie zalezy od temperatury. Posiada cykl 24-minutowy. Przez 12 minut tworzy w komorce warunki utleniajace, co powoduje zrywanie mostkow disiarczkowych w bialkach, a przez kolejne 12 minut warunki redukcyjne powodujace ponowne wiazanie mostkow disiarczkowych.¹⁴ W ten sposob komorka posiadajaca sztywny cytoszkielec bialkowy moze rosnac. Bialko to prawdopodobnie odbiera sygnal synchronizujacy z pola torsyjnego z otoczenia, gdzie jest on latwo wykrywalny metodami pomiaru pol torsyjnych. Uzyskany preparat wykazywal taki cykl dwudziestoczwierominutowy. Trzecia grupa bialek miedziowo-cynkowych, ktora nalezy tu przytoczyc to prion i bialka prionopodobne. Do czego sluzy w organizmie prion, tego nie znajdziemy w literaturze. Dwadziecia lat intensywnych badan nie przynioslo rozsadnych wynikow¹⁵, usuniecie jego genu u myszy nie powoduje znacacego ich uposledzenia, nawet po pietnastu pokoleniach.¹⁵ Nikt przeciez niebral pod uwage, ze moze prowadzic reakcje biologicznej syntezy jadrowej i produkowac WIMP-y, ktore nie sa potrzebne do zwyklej fizjologii, a raczej potrzebne do uzyskiwania zjawisk paranormalnych. Zjawiska paranormalne w dawnych czasach wykorzystywalismy bardziej powszechnie. Te trzy grupy nie sa zupełnie rozlaczne. Miedziowo-cynkowa dysmutaza ponadtlenkowa posiada pewne wlasciwosci prionopodobne, a czesc bialek prionopodobnych jest tez zegarami kosmicznymi, np synukleina, ktora jest uszkodzona w chorobie Parkinsona, zlogi amyloidowe Aβ w chorobie Alzheimera, czy samo bialko prionowe PrP.¹⁶

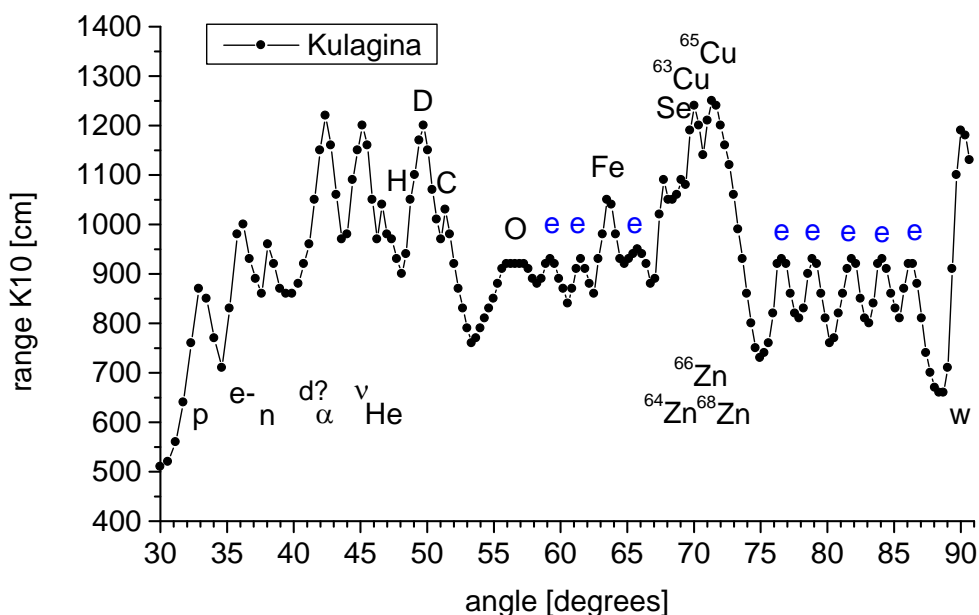
Nina Kulagina

Sprawdzmy teraz jakis przyklad telekinezy. Ciekawa osoba w Związku Radzieckim byla Nina Kulagina posiadajaca kilka zdolnosci paranormalnych. Dla zbadania fenomenu Kulaginy powolano specjalna komorkę naukową. Po dziesieciu latach pracy grupy badawczej grupa ta stwierdzila, ze Kulagina caly czas ich oszukiwala i ze nie posiada ona zadnych zdolnosci paranormalnych. W Związku Radzieckim innego wniosku nie mozna bylo napisac. Na rys. 6 przedstawiony jest kadr z filmu w momencie odpychania na odleglosc przez Kulagine metalowego cylindra (prawdopodobnie pustego wewnatrz).



Rys. 6. Kadr z filmu w momencie odpychania na odległość przez Kułaginę metalowego cylindra. [Телекинез Нинель Кулагиной](https://www.youtube.com/watch?app=desktop&v=uO6Zevg-gYs)
<https://www.youtube.com/watch?app=desktop&v=uO6Zevg-gYs>

Z kolei na rys. 7 przedstawione jest spektrum cząstek pola torsyjnego z zaznaczonego na kadrze prostokąta obejmującego przestrzeń między cylindrem i palcami Kułagin, a także końcówki jej palców.



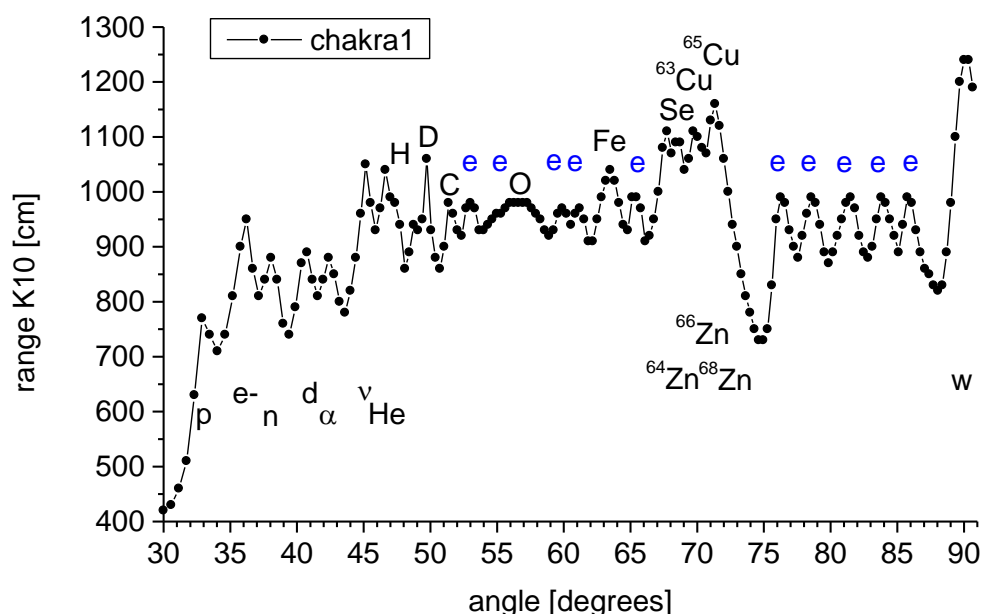
Rys. 7. Spektrum sygnału z zaznaczonego obszaru kadru z filmu o Kułaginie, w którym to momencie można było się spodziewać informacji o promieniowaniu związanym z telekinezą. Oznaczenia: p - protony, e- - elektrony, n - neutrony, d - deuterony, α - cząstki alfa, ν - neutrino, He - hel, H - wodór, D - deuter, C - węgiel, O - tlen, Fe - żelazo, Cu - miedź, Zn - cynk, Se - selen, w - WIMP-y. e - sygnał od pierścieni aminokwasów aromatycznych. Oś odciętych - kąt wiązki padającej względem płaszczyzny łamiącej mierzony w stopniach; oś

rzędnych - zasięg promieniowania Kategorii K10 z próbek na wyjściu spektroskopu mierzony w centymetrach.

Na uzyskanym spektrum widzimy obecność składników analogicznej zimnej syntezy, WIMP-y i prawdopodobnie to samo co poprzednio białko miedziowo-cynkowe.

Czakram 1

Wróćmy teraz do wspomnianego poprzednio czakramu znajdującego się na czubku głowy. Określam go jako czakram 1 albo ściślej K1 na podstawie doświadczalnego badania Kategorii (kolorów radiestezyjnych, znaków zodiaku) promieniowanych przez główne czakramy z użyciem wzorców metalicznych trzymanyh w dłoni. W ten sposób na czubku głowy znajdujemy Kategorię 1, na czole Kategorię 2, na krtani Kategorię 3, W dołku poniżej krtani znajdujemy niezauważany przez większość autorów czakram promieniujący Kategorią 4, w okolicy serca przesunięty trochę na lewo czakram promieniujący kategorią 5, w miejscu splotu słonecznego czakram promieniujący Kategorią 6, pod pępkiem czakram promieniujący Kategorią 7 w okolicy podbrzusza znajdujemy promieniowanie Kategorią 8 natomiast na stawach rąk i nóg znajdujemy kolejne Kategorie od 9-tej do 12-tej. Opis właściwości psychologicznych siedmiu popularnych czakramów zaczerpnięty ze źródeł wschodnich jest zgodny z przypisanymi przeze mnie Kategoriami czy znakami zodiaku.

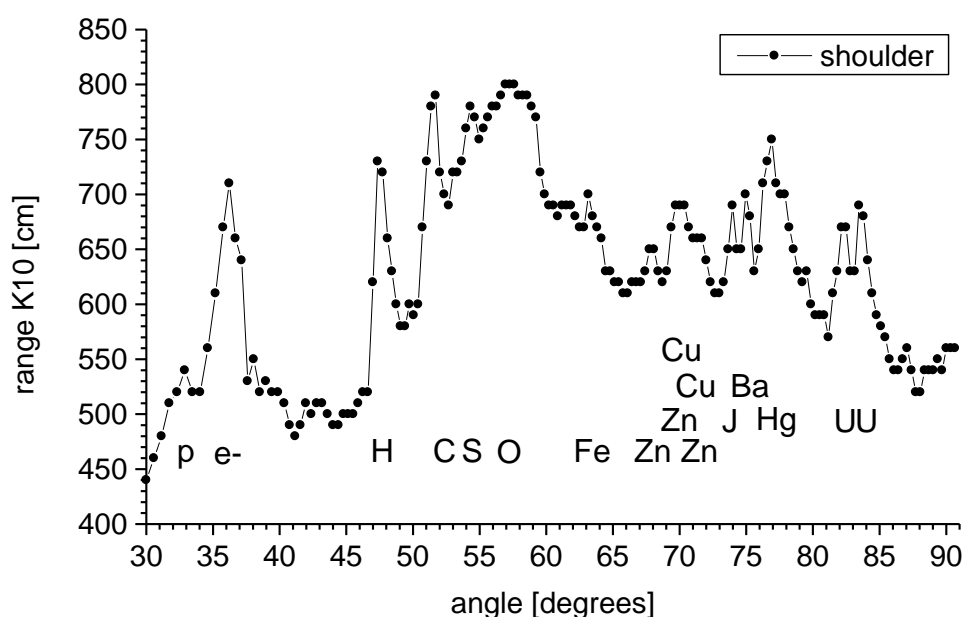


Rys. 8. Spektrum cząstek pola torsyjnego z czakramu znajdującego się na czubku głowy osoby nie posiadającej zdolności paranormalnych W. M. z Gdańska. Fiolka z wodą była trzymana przez 20s na czubku głowy z zabezpieczeniem aby nie dodać promieniowania z palców, fiolka umieszczona była następnie w spektroskopie. Oznaczenia jak na poprzednich dwóch wykresach.

Na rys. 8 mamy przedstawione spektrum z czakramu 1 od współpracującego ze mną kolegi W. M. z Gdańska, nie posiadającego zauważalnych zdolności paranormalnych. Widzimy że oprócz WIMP-ów w tym obszarze ma miejsce biologiczna reakcja jądrowa, w

normalnych warunkach, bez jakiegos skupiania sie na czakramie. Reakcja prowadzona jest prawdopodobnie przez ten sam enzym co w poprzednich pomiarach. Nie przypadkowo mały czakram końca kciuka kojarzony jest z czakramem czubka głowy.¹⁷ Zbadane przeze mnie jeszcze w 2015 roku kilka czakramów: 1, 2, 5 i czakram oczu, na trzech osobach, wykazywały różnice wzoru sygnałów między czakramami a jednocześnie wysokie podobieństwo dla tych trzech osób. Badanie było przeprowadzone na wstępnej wersji spektroskopu, w którym nie wyeliminowana była jeszcze dyfrakcja, jednak ogólna zależność nie budziła wątpliwości.

Spektrum cząstek pola torsyjnego z miejsc na ciele będących poza wpływem czakramów takich jak ramię, bok palca, jak też krew, nie wykazuje obecności biologicznej syntezy jądrowej. Przedstawione jest to na rys. 9.



Rys. 9. Spektrum sygnału pobranego do fiolki z ramienia osoby nieposiadającej uzdolnień paranormalnych (W. M.). Czas ekspozycji fiolki 20s. Oznaczenia p - protony, e- - elektrony, H - wodór, C - węgiel, S - siarka, O - tlen, Fe -żelazo, Cu - miedź, Zn - cynk, J - jod, Ba - bar, Hg - rtęć, U - uran. Oś odciętych - kąt wiązki padającej względem płaszczyzny łamiącej mierzony w stopniach; oś rzędnych - zasięg promieniowania Kategorii K10 z próbek na wyjściu spektroskopu mierzony w centymetrach.

Z wykresu rys. 9 widzimy że w obszarze poza czakramami, na ramieniu, nie ma biologicznej reakcji jądrowej nie ma WIMP-ów, nie ma też dominującej obecności enzymu miedziowo-cynkowego. Jod, bar, rtęć i uran, to sygnały pochodzące z otoczenia, ze Słońca i z głębi Ziemi zapisane w momencie urodzenia, przenoszące w układzie Kategorii, cechy astrologiczne danej osoby.

Naturalna zdolność przyciągania przedmiotów metalowych

Teraz przejdźmy do innej zdolności paranormalnej, do zjawiska przyklejania się łyżeczek i wszelkich przedmiotów metalowych do ciała niektórych osób. Osoby takie są

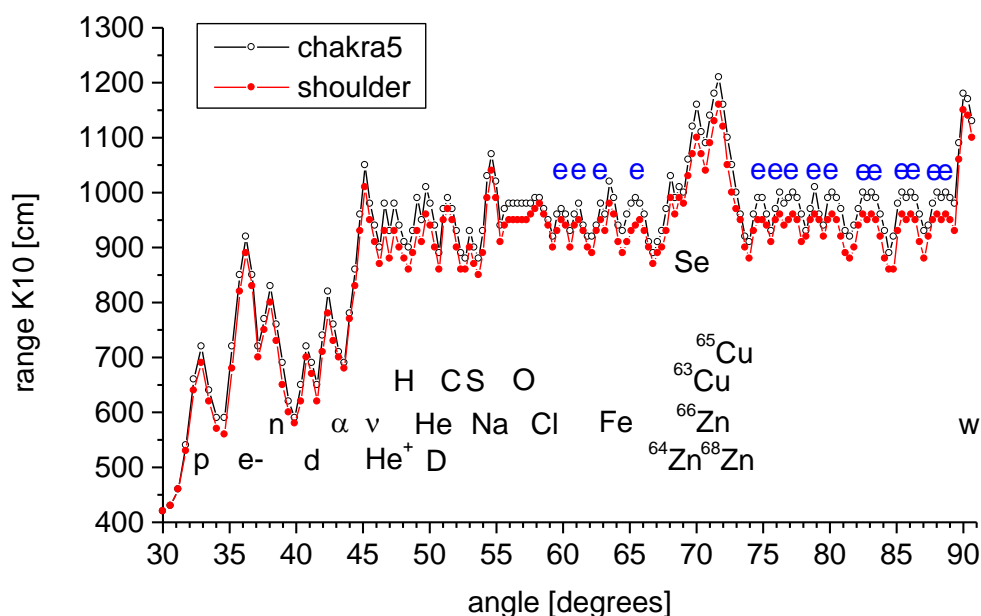
określane jako ludzie-magnesy, jednak to określenie prowadzi nas w ślepią uliczkę, ponieważ nie ma tu miejsca pole magnetyczne. Ani w organizmie nie ma magnesów, ani przyciąganie nie jest ograniczone do ferromagnetyków. Przyciągane są różne metale, np mosiądz, czy aluminium, ale też tworzywa sztuczne, drewno, a nawet szkło. Dziecko przecież wie, że z popularnych substancji magnes przyciąga tylko żelazo. Powtarzany błąd pokazuje powszechny infantylizm, w miejscu gdzie powinna się pojawić ciekawość: a co to takiego że przyciągane są inne przedmioty niż żelazne. Zwykle tylko niektóre części ciała wykazują zjawisko przyciągania.

Poznana przeze mnie osoba B. S. z Gdyni wykazuje od trzydziestu lat zdolność przyciągania łyżeczek i różnych przedmiotów z metali magnetycznych i niemagnetycznych w obrębie klatki piersiowej, brzucha i ramion. Efekt nie pozostaje bez wpływu na fizjologię, w wymienionych obszarach ciało jest sprężyste niepoddające się łatwo naciskowi. Efekt ten nie występuje już zupełnie na łydkach. Na fotografii rys. 10 przedstawiono naturalną zdolność przyciągania przedmiotów metalowych przez wspomnianą osobę.



Rys. 10. Różne przedmioty żelazne i nieżelazne (niemagnetyczne) przylegające spontanicznie do ciała badanej osoby B.S. Na brzegu zdjęcia po lewej stronie widoczna jest płytka z poliwęglanu grubości 10mm i blaszka miedziana grubości 4mm.

Z kolei na rys.11 przedstawiono spektrum promieniowania cząstek pola torsyjnego pochodzących od tej osoby. Jako że centrum promieniowania wydawało się leżeć w okolicy czakramu serca, informację cząstek pola torsyjnego przechwycono z miejsca gdzie znajduje się czakram serca przykładając na trzy minuty buteleczkę z przegotowaną wodą. Dodatkowo pobrano sygnał z ramienia, a więc tam gdzie nie ma czakramów. Silny sygnał w buteleczce był potrzebny aby nie uległ zakłóceniu podczas przewiezienia do laboratorium. Później sygnał został wielokrotnie osłabiony do wymogów spektroskopu.

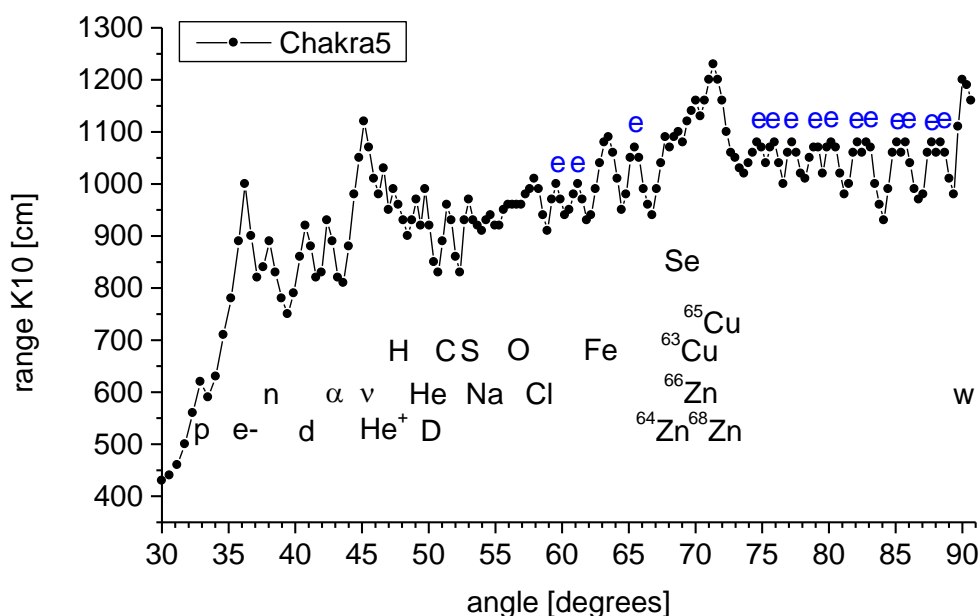


Rys. 11. Spektrogramy sygnału cząstek pola torsyjnego pobranego z obszaru czakramu serca i z ramienia osoby posiadającej naturalną zdolność przyciągania przedmiotów metalowych. Oznaczenia: chakra5 - sygnał z czakramu serca, shoulder - sygnał z ramienia, p - protony, e - elektrony, n - neutrony, d - deuterony, α - cząstki alfa, ν - neutrino, He^+ - zjonizowana cząsteczka helu, He - hel, H - wodór, D - deuter, C - węgiel, S - siarka, O - tlen, Na - sód, Cl - chlor, Fe - żelazo, Cu - miedź, Zn - cynk, Se - selen, w - WIMP-y. e - sygnał od pierścieni aminokwasów aromatycznych. Oś odciętych - kąt wiązki padającej względem płaszczyzny łamiącej mierzony w stopniach; oś rzędnych - zasięg promieniowania Kategorii K10 z prędkością na wyjściu spektroskopu mierzony w centymetrach.

Na wykresie rys. 11 widzimy obecność WIMP-ów, biologicznej reakcji jądrowej i pierwiastków biogennych przynależnych do enzymu miedziowo-cynkowego. Układ sygnałów po prawej stronie, pochodzących od pierścieni aromatycznych enzymu, wskazuje, że jest to inny enzym, niż ten który był odpowiedzialny za gięcie łyżeczek. Wykresy z czakramu i z ramienia są identyczne, co oznacza, że obecność enzymu miedziowo-cynkowego odpowiedzialnego za biologiczną reakcję jądrową i wytwarzanie WIMP-ów nie jest już ograniczona do czakramu serca, a jest rozlana na dużą część ciała.

Czakram 5

Żeby sprawdzić że badane rozlane po ciele zjawisko rzeczywiście możemy odnieść do czakramu serca, zbadane zostało promieniowanie czakramu serca osoby, która nie posiada nadzwyczajnych właściwości paranormalnych (W. M.). Promieniowanie z czakramu serca (czakram 5) przesuniętego o ok 3 cm od osi ciała zostało przedstawione na rys. 12. Wykres jest bardzo podobny do wykresów od osoby mającej naturalną zdolność przyciągania przedmiotów metalowych. Zachodzi biologiczna reakcja jądrowa, widoczne są WIMP-y i możemy przyjąć, że mamy do czynienia z tym samym enzymem miedziowo-cynkowym.



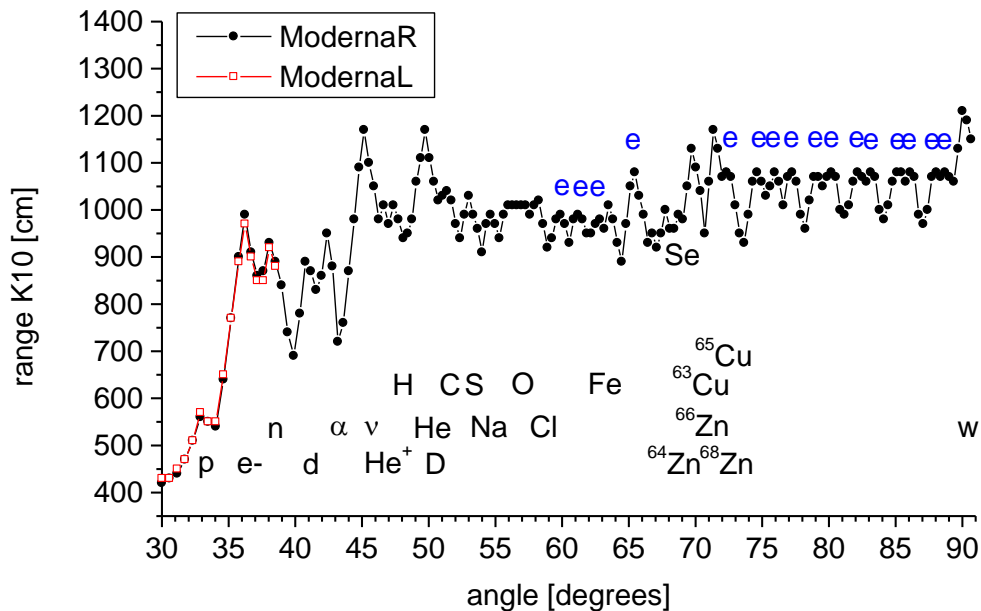
Rys. 12. Wykres spektrum sygnału z czakramu 5 od osoby wzorcowej W. M. Oznaczenia jak na poprzednim rysunku.

Szczepionki COVID-19

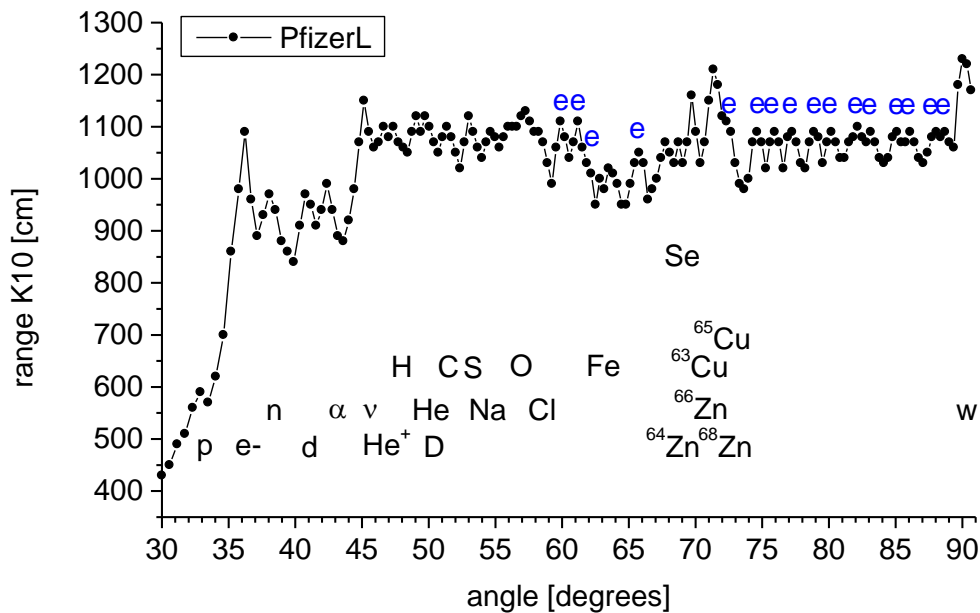
Jak już wiemy z wielu doniesień internetowych, część osób zaszczepionych szczepionką COVID-19, jako efekt poszczepienny, wykazuje magiczne zjawisko przyciągania przedmiotów metalowych do ramienia, do którego podano szczepionkę, a w skrajnym przypadku do całego ciała. Efekt ten jest wiązany z planowanym wcześniej oznaczeniem osób zaszczepionych, aby fakt zaszczepienia można było sprawdzać aparaturą na lotniskach, bez względu na posiadany certyfikat szczepienia. Osoby, które ostatnio podróżowały samolotem zauważyły, że skanery terahercowe do prześwietlania podróżnych są ostatnio wyłączone. Zbadałam spektra promieniowania cząstek pola torsyjnego z ramienia dwóch osób zaszczepionych szczepionką COVID-19, które wykazywały spontaniczne przyciąganie przedmiotów metalowych, a nie posiadały wcześniej takich zdolności. Na zdjęciu rys. 13 przedstawione są te dwie osoby z nożyczkami przyciągniętymi do ramienia. Pierwszą osobą jest Włoch z Sycylii zaszczepiony w swoim kraju szczepionką Moderna. Drugą osobą jest Polka mieszkająca w Londynie zaszczepiona tam szczepionką Pfizer, która akurat przyjechała do Polski. W pierwszym przypadku spektrum zostało wykonane z kadru filmu wykonanego specjalnie dla potrzeb tego artykułu przez Jarosława Dobruckiego. W drugim przypadku sygnał został pobrany przez przyłożenie do zaszczepionego ramienia fiolki z wodą na trzy minuty.



Rys. 13. Zdjęcia dwóch osób zaszczepionych szczepionkami: Moderna (po lewej) i Pfizer (po prawej), pokazujące przyciąganie przedmiotów metalowych, złoty prostokąt to gruba na 4mm blaszka miedziana, a więc niemagnetyczna. Podobnie w pierwszym przypadku występowało przyciąganie metali niemagnetycznych, np monety 10 cent ów europejskich, które nie przyciągał magnes.



Rys. 14. Spektrum promieniowania z ramienia osoby zaszczepionej szczepionką Moderna. ModernaR (czarne pełne kółka) sygnał z prawego ramienia do którego podano szczepionkę, ModernaL (czerwone puste kwadraty) sygnał z lewego ramienia. Pozostałe oznaczenia jak na rys. 11.



Rys. 15. Spektrum promieniowania z lewego ramienia osoby zaszczepionej szczepionką Pfizer. Oznaczenia jak na rys. 11.

Z wykresów rys. 14 i 15 widzimy, że zarówno w przypadku szczepionki Moderna, jak i Pfizer, w organizmie aktywowany jest ten sam enzym miedziowo-cynkowy, tzn. posiadający ten sam wzór sygnałów pochodzących od pierścieni aromatycznych w zakresie kątowym na wykresie 72°-82° specyficznych dla konkretnego enzymu miedziowo-cynkowego związanego z określonym czakramem. Jest to też ten sam enzym, który występuje u osoby o naturalnych zdolnościach przyciągania przedmiotów metalowych i jednocześnie występuje w czakramie K5 (serca) osoby nie posiadającej wyjątkowych zdolności paranormalnych. W obu przypadkach występuje biologiczna reakcja jądrowa i obecność WIMP-ów odpowiedzialnych za przyciąganie metali.

Podsumowanie

Praca posłużyła wyjaśnieniu zjawisk fizycznych i biologicznych jakie odbywają się w przypadku trzech wybranych zjawisk paranormalnych: gięcia łyżeczek, odpychania przedmiotów metalowych i przyciągania przedmiotów metalowych do ciała. We wszystkich tych przypadkach znaleziono:

1. Obecność biologicznej reakcji jądrowej;
2. Obecność cząstek ciemnej materii o nieopisanych wcześniej właściwościach w skali makro;
3. Obecność enzymu miedziowo-cynkowego zaangażowanego w prowadzenie reakcji jądrowej.

Tematyka siłowych zjawisk paranormalnych budzi od wielu lat duże zainteresowanie, jako że nie mamy tu do czynienia z oddziaływaniami elektromagnetycznymi, które każdy rozsądny badacz odrzuci tu jako nie mające zdolności przyciągania metali nieżelaznych czy zmiękczenia struktury metalu. Źle się dzieje, że wielu fizyków, nie widząc gotowego

podręcznikowego rozwiązania takich tematów, udaje że zjawiska takie nie istnieją. Oddziaływania elektromagnetyczne są już na wskroś poznane, również podłużne fale elektromagnetyczne, nie ma już żadnych obszarów o jakiś nieprzewidywalnych właściwościach. Jeszcze trzydzieści lat temu takim zagadkowym obszarem był zakres teraherców, w którym nie potrafiliśmy generować fal elektromagnetycznych, obecnie ten zakres jest już opanowany technicznie i wykorzystywany. Nie ma tam żadnych przełomowych odkryć dotyczących właściwości tych fal. Dlatego konieczna jest penetracja innych oddziaływań niż cztery podstawowe. W Związku Radzieckim już w latach siedemdziesiątych zajęto się polami torsyjnymi i cząstkami pola torsyjnego, które jednak nie przenoszą energii, a tylko informacje. W związku z tym nie mogą być odpowiedzialne za te siłowe zjawiska paranormalne. W przypadku obserwowanych WIMP-ów wiemy, że z pewnością oddziałują poprzez pola torsyjne, ponieważ inaczej nie byłyby obserwowane metodą spektroskopii cząstek pola torsyjnego, nie wiemy jednak czy za siłowe oddziaływania odpowiedzialne są pola torsyjne, czy też inne być może nieznanne oddziaływania. Korzystając z pewnej analogii do oddziaływań elektromagnetycznych, cząstki pola torsyjnego możemy traktować tak jakby były ładunkami np. elektronami, wówczas pole torsyjne odpowiadałoby polu elektrostatycznemu, wirowe pole torsyjne - polu magnetycznemu. Brakuje odpowiednika kwantu pola elektromagnetycznego, czy inaczej fotonu. Powstaje pytanie, czy WIMP może pełnić rolę kwantu pola torsyjnego przenoszącego energię, podobnie jak czyni to kwant pola elektromagnetycznego? W tym podejściu chodzi o cząstkę, której od pewnego czasu poszukiwałam.

Na to że WIMP-y oddziałują siłowo na odległość wskazują konstrukcje silników magnetycznych, siła nośna lifterów, czy efekt Samochwałowa, w których WIMP-y powstające w reakcji zimnej syntezy jądrowej są obecne.¹⁸

Mamy tu we własnych rękach egzotyczne cząstki WIMP-y, których badania otworzą nową dziedzinę wiedzy. Na razie widzimy tylko jakie efekty wywołują. Nie pochodzą one tutaj z peryferii galaktyki, ani nawet z otoczenia, a są generowane w biologicznej reakcji jądrowej. Znaczący składnikiem materii. Są przypuszczenia, że są to bozony W lub bozony Z, które pełnią w jądrach atomowych rolę kleju.¹⁹

Na wszystkich powyższych wykresach związanych z aktywnymi enzymami miedziowo-cynkowymi obserwowana zawartość poszczególnych izotopów miedzi i cynku nie odpowiada ich składowi w materii nieorganicznej. I nie zmienia tego fakt że na ich sygnały nakłada się jeszcze sygnał selenu. We wszystkich przypadkach maksimum sygnału według składu naturalnego powinno być przy kącie 69°-70°, a jest przy 71,3°. Na rys. 9 przedstawiającym sygnał gdzie nie ma reakcji jądrowej i też występuje enzym miedziowo-cynkowy, ale nie jako sygnał dominujący, stosunek pików miedzi i cynku jest mniej więcej taki jak oczekiwany.

Zmiany stosunku zawartości izotopów dla miedzi i cynku w organizmie ludzkim nie są nowością. Większość pomiarów różnych autorów pochodzi jednak z krwi albo z tkanki nowotworowej. Pomiar z takiej mieszaniny metaloenzymów jakie są w organizmie daje zaledwie kilka promili różnicy i stosowane są do tego spektroskopy masowe specjalnej konstrukcji. Stosunek zawartości ⁶³Cu do ⁶⁵Cu okazał się dobrym wskaźnikiem procesu nowotworowego u ludzi. Natomiast badania na mózgach myszy pokazały, że stosunek izotopów cynku odzwierciedla lokalne uszkodzenia prionowe.²⁰

W naszym przypadku mamy pomiar z jednego enzymu uwydartionego w spektrum przez aktywację promieniowania cząstek pola torsyjnego zimną syntezą jądrową i mamy zmiany izotopowe na poziomie 20% - 30%. Biorąc pod uwagę że bierze tu udział jedynie niewielki ułamek miedzi i cynku obecnych w organizmie, te dane mogą być zgodne.

Oczywiście do najciekawszych pytań należy, czy są to któreś z poznanych już enzymów miedziowo-cynkowych. Do zinicjowania reakcji niskoenergetycznej reakcji

jądrowej, a z taką mamy tu do czynienia, potrzeba energii 0,1eV - 1eV.⁸ Wytwarzanie wolnych rodników leży w tych granicach, a więc wspomniane wcześniej NADH-oksydazy, o których wiadomo, że wytwarzają rodnik ponadtlenkowy, dostarczają wystarczającej energii. Trudniej to powiedzieć o białkach prionopodobnych, ponieważ w większości przypadków nie badano katalizowanej przez nie z użyciem miedzi i cynku reakcji. W większości przypadków w ogóle nie sprawdzono doświadczalnie, czy sekwencji tworzącej krystalopodobne struktury towarzyszą miedź i cynk. Natomiast taki kryształ wytwarzany szybko z ogólnie dostępnego surowca to w skali mikro - skarb. Wiemy jak trudno odebrać duże energie z reakcji jądrowych. Takimi obiektami, które bez uszkodzeń są w stanie duże energie odebrać są właśnie kryształy. Energia może rozłożyć się po całym kryształcie w postaci fononu. I to może być bardzo ważna funkcja kryształów amyloidowych.

Jeżeli przyjmiemy, że większość białek prionopodobnych oprócz zdolności tworzenia złożeń amyloidowych, posiada miedź i cynk, a o miedzi wiemy, że wiąże się do powtarzalnej sekwencji amyloidowej²¹, wówczas nabierają one zupełnie innego kolorytu. Białka prionopodobne posiadają zarówno jednokomórkowe grzyby, bakterie, jak i niektóre wirusy, w tym ludzki koronawirus, sporo białek prionopodobnych posiada również nasz organizm.^{22, 23.}²⁴ O części białek prionopodobnych, zarówno w przypadku agresora, jak i naszego organizmu wiemy już, że służą do obrony.^{22, 25, 26} Być może białka te to mała broń jądrowa na wojnie o przeżycie. Ostatnie lata przyniosły informacje o białkach prionopodobnych w wielu różnych chorobach, w których są odpowiedzialne za tworzenie złożeń amyloidowych, a w niektórych przypadkach za infekcyjność pomiędzy tkankami. To na przykład choroba Alzheimera²⁷, choroba Parkinsona²⁷, stwardnienie zanikowe boczne²⁷, choroba Huntingtona²⁷, cukrzyca typu II^{28, 29}, nowotwory³⁰, padaczka³¹. Nie wykluczone, że to wysokoenergetyczne procesy w białkach prionopodobnych są odpowiedzialne za rozwój tych chorób. Wspomniane wcześniej NADH-oksydazy nie różnią się specjalnie od białek prionopodobnych, historycznie zostały wydzielone na podstawie innych cech, a mianowicie ich właściwości zegarowych i utleniania NADH. Jednak jak obecnie wiadomo, posiadają właściwości prionopodobne, natomiast białko prionowe PrP^{Sc} jest zegarem odliczającym cykl 24min.^{16, 32}

Faza zegara NADH-oksydazy jest wrażliwa zarówno na zmienne pole magnetyczne niskiej częstotliwości, jak i promieniowanie mikrofalowe³³. Potwierdza to moją hipotezę o regulacji zegara NADH oksydazy poprzez pole torsyjne pochodzące z cykli kosmicznych. Rosjanie już w latach dziewięćdziesiątych pisali o tym, że prawdziwym oddziaływaniem urządzeń elektromagnetycznych na organizmy żywe jest współgenerowane pole torsyjne.³⁴

W artykule niniejszym, podobnie jak w wielu innych ignorowałam paradygmaty hamulcowe, wprowadzone po to, aby badania militarne, jak też prowadzone przez koncerny farmaceutyczne wyprzedzały o wiele lat badania cywilne. Myślę tu o dostosowywaniu się do modelu standardowego, ograniczeniu do czterech oddziaływań podstawowych, traktowaniu człowieka jako maszyny chemiczno-elektrycznej, czy braku wpływu oddziaływań kosmicznych na człowieka.

Z powyższych wyników dowiadujemy się, że koncerny Pfizer i Moderna albo raczej cały kartel farmaceutyczny zajmuje się zjawiskami paranormalnymi, a w szczególności ich generowaniem. „Szczepionka” COVID-19 zdradziła nam jedną z tajemnic kartelu farmaceutycznego. Nie mamy się co łudzić, że kartel pracuje nad lekami dla naszego leczenia. Po to wchłania najlepszych naukowców z całego świata, płacąc im dwukrotnie wyższe stawki niż w instytucjach rządowych i pozbawia ich praw autorskich, aby uzyskać wprost magiczną władzę nad ludźmi w obecnym wyścigu o utworzenie rządu światowego. Tym razem zakupiono sobie z gremiów rządowych, lekarzy i profesorów, którzy kompletnie nie rozumieją co się dzieje i którzy przeżywają dysonans poznawczy, dowiadując się, że tak naprawdę niewiele wiedzą i nie są tymi najważniejszymi ekspertami, jak wcześniej myśleli. W internecie mówi się wiele o grafenie dodawanym do szczepionki COVID-19. Ma to pewien

sens, ponieważ grafen, nanorurki węglowe i fulleren wiążą się do złogów amyloidowych wpływając na propagację prionową.^{35, 36}

Z wyników tych dowiadujemy się też, jakie jest umocowanie czakramów. Decyduje o nich obecność białek miedziowo-cynkowych w określonych miejscach ciała. Pomijam tu ich wcześniejsze odnalezienie sobie miejsca na skutek morfogenezy. Natomiast promieniowanie czakramów to WIMP-y i promieniowanie cząstek elementarnych pochodzących z biologicznej reakcji jądrowej.

Obecność promieniowania radioaktywnego czakramów potwierdzają badania Aleksieja Wasiliewicza Swietłowa (Светлов Алексей Васильевич) z 1997r, w których wykorzystując błonę światłoczułą przeznaczoną do badań kosmicznych w nieprzepuszczalnej dla światła kasecie przyłożonej do ciała uzyskiwał naświetlone strefy przy aktywacji czakramów. Pojawiały się punkty i plamki. Podobnie Paweł Iwanowicz Uljakow (Уляков Павел Иванович) w 1999r zamykał błonę rentgenowską o wymiarze 3x3cm w światłoczułych kasetach i przytwierdzał je na kilka dni na ciele badanej osoby w miejscach czakramów i uzyskiwał ich zaświecenie. W przypadku intencjonalnej aktywacji czakramów wystarczała jednogodzinna ekspozycja. Stosując filtry z folii Pb, Fe i Al doszedł do wniosku, że emisja występuje głównie w zakresie energii 8-80keV. Dla czakramu serca charakterystyczny był obraz wielu plamek.^{17:309-310}

Elena Winogradowa Siergiejewna (Виноградова Елена Сергеевна) w 1993r przeprowadziła badania z użyciem dozymetru wykorzystującego termoluminescencję (ТЛД-500К). Była to matryca składająca się z 18 tabletek na bazie monokrystalicznego tlenku glinu o średnicy 5mm i grubości 1mm albo na bazie polikrystalicznego fluorku litu. Pomiar dokonywany był przez zliczanie fotonów światła podczas nagrzewania tabletki do 245 °C. Fotony pochodzą z przejść promienistych od elektronów, które zachowały podwyższoną energię pochodzącą od promieniowania. Metoda ta umożliwia wykrywanie promieniowania rentgenowskiego, promieniowań: α , β , γ i protonów. Matryca z tabletkami umieszczana była na czakramach lub kontrolnie w innych miejscach. Pomiar dokonywano dla stanu pasywnego, a więc dla normalnego funkcjonowania danej osoby w czasie do jednego miesiąca. Analogiczne badania prowadzono dla stanu aktywnego, w którym w seansie trwającym dziesięć do trzydziestu minut dokonywano koncentracji energii psychicznej według indywidualnie dobieranych procedur. W pasywnym stanie uzyskiwano na czakramach promieniowanie około 10-krotnie większe od poziomu tła, ok. 25 mrad/dobę, a dla czakramu serca najwięcej bo 37 mrad/dobę. W aktywnym stanie uzyskiwano ok. 15 rad/ dobę, a dla czakramu serca 18 rad na dobę. Wszystko przy poziomie tła 0,24 mrad/dobę. Oznacza to że zaktywowanie czakramu zwiększało promieniowanie jonizujące czakramu ok. 500 razy. Detektor był osłonięty folią aluminiową o grubości 1,1 μm . Przejście przez dodatkową tabletkę pomiarową w zasadzie nie zmniejszało wyniku. Natomiast zastosowanie dodatkowych przegród metalicznych o grubości do 1mm, zmniejszało wyniki, z czego autorzy wysnuwają wniosek, że było to promieniowanie jonizujące o stosunkowo niedużej energii (<1MeV).^{37, 37:314-320}

W ten sposób dowiadujemy się, że reakcje jądrowe nie są ograniczone do elektrowni atomowych i broni atomowej, ale występują w sposób naturalny w naszym ciele. Oznacza to, że spór między wojskowymi ignorującymi szkodliwość promieniowania i ekologami bojącymi się każdej dawki promieniowania, może znaleźć rozsądny konsensus. Są nim nasze aktywne mechanizmy obronne przed promieniowaniem, działające w zakresie, w jakim nasz organizm sam prowadzi reakcje jądrowe na poziomie białkowym.

Literatura

1. А. Г. Пархомов; Распределение и движение скрытой материи. Москва 2004. Изд. второе, испр. и доп.
2. J. P. Luminet; The dark matter enigma; *Inference - The International Review of Science* (2020) 5(3).
3. К. Л. Кервран; Доводы в биологии трансмутаций при слабых энергиях. Часть 1 и Часть 2; *Журнал Формирующихся Направлений Науки* (2017) Том 5 (Выпуск №17-18): 102-145.
4. J. P. Biberian; Biological transmutations: historical perspective; *Journal of Condensed Matter Nuclear Science* (2012) 7: 11-25.
5. J. P. Biberian; Biological transmutations; *Journal of Condensed Matter Nuclear Science* (2019) 28: 21-27.
6. D. Wojtkowiak, K. Raduszkiewicz, M. Wojtkowiak, A. Frydrychowski; *Spektroskopia pól torsyjnych Gdańsk*, kwiecień 2019; <http://www.torsionfield.eu/>
7. Колтовой Николай Алексеевич; *Радионика; Книга 5 Часть 2-06*, Москва 2018, <https://koltovoi.nethouse.ru>
8. А. Г. Пархомов; LENR как проявление слабых ядерных взаимодействий; *Журнал Формирующихся Направлений Науки* (2019) 23-24(7): 6-8; <http://www.unconv-science.org/n23/parkhomov1/>
9. D. Wojtkowiak; *Ciemna materia*, Gdańsk, czerwiec 2021. www.torsionfield.eu
10. Q. Liu, J. Lazar, C. A. Arguelles, A. Kheirandish; *Xarov: a tool for neutrino flux generation from WIMPs*; Prepared for submission to JCAP; arXiv:2007.15010v2 [hep-ph] 16 Aug 2020.
11. T. J. Raen, H. Martinez-Rodriguez, T. J. Hurst, A. R. Zentner, C. Badenes, R. Tao; The effects of asymmetric dark matter on stellar evolution I: spin-dependent scattering; *MNRAS* (2020) 000: 1-14; arXiv:2010.04184v3 [astro-ph.GA] 17 Mar 2021.
12. C. M. Karwin, S. Murgia, I. V. Moskalenko, S. P. Fillingham, A. K. Burns, M. Fieg; *Dark matter interpretation of the Fermi-LAT observations toward the outer halo of M31*; arXiv:2010.08563v1 [astro-ph.HE] 16 Oct 2020.
13. D. Wojtkowiak, W. Misztal; *Fantom atomowy*; Gdańsk, 25 listopada 2019; www.torsionfield.eu
14. D. J. Morre, J. Lawler, S. Wang, T. W. Keenan, D. M. Morre; Entrainment in solution of an oscillating NADH oxidase activity from the bovine milk fat globule membrane with a temperature-compensated period length suggestive of an ultradian time-keeping (clock) function; *Biochimica and Biophysica Acta* (2002) **1559**: 10-20.
15. J. A. del Rio, R. Gavin; Functions of the cellular prion protein, the end of Moore's law, and Ockham's razor theory; *Prion* (2016) 10: 25-40.
16. D. J. Morre, D. M. Morre; Cell surface NADH oxidases (ECTO-NOX proteins) with roles in cancer, cellular time-keeping, growth, aging and neurodegenerative diseases; *Free Radical Research*, (2003) 37(8): 795–808; DOI: 10.1080/1071576031000083107
17. Колтовой Николай Алексеевич Книга 7. Часть 19-03. Чакры. Москва, 29 июня 2021; <https://koltovoi.nethouse.ru>
18. D. Wojtkowiak; *Zagadnienie wolnej energii*; Gdańsk, lipiec 2020; www.torsionfield.eu
19. R. W. Schnee; Introduction to dark matter experiments; *WSPC Proceeding* (2011) January 28, 1:7; arXiv:1101.5205v1 .
20. F. Albarede, P. Telouk, V. Balter, V. Bondanase, E. Albalat, P. Oger, P. Bonaventura, P. Miossec, T. Fujii; Medical applications of the Cu, Zn, and S isotope effects; *Metallomics* (2016) DOI: 10.1039/C5MT00316D.
21. G. Salzano, G. Giachin, G. Legname; Structural consequences of copper binding to the prion protein; *Cells* (2019) 8, 770; doi:10.3390/cells8080770

22. J. B. Rayman, E. R. Kandell; TIA-1 is a functional prion-like protein; Cold Spring Harbor Perspectives in Biology (2017) 9:a030718; doi: 10.1101/cshperspect.a030718
23. R. Balczon, K. A. Morrow, C. Zhou, B. Edmonds, M. Alexeyev, J. F. Pittet, B. M. Wagener, S. A. Moser, S. Leavesley, X. Zha, D. W. Frank, T. Stevens; Pseudomonas aeruginosa infection liberates transmissible, cytotoxic prion amyloids; The FASEB Journal fj.201601042RR. Published online (2017) March 17; doi: 10.1096/fj.201601042RR
24. G. Tetz, V. Tetz; Prion-like domains in eukaryotic viruses; Scientific Reports (2018) 8: 8931; DOI:10.1038/s41598-018-27256-w
25. X. Cai, H. Xu, Z. J. Chen; Prion like polymerization in immunity and inflammation; Cold Spring Harbor Perspectives in Biology (2017) 9:a023580; doi: 10.1101/cshperspect.a023580
26. D. Otzen, R. Riek; Functional amyloids; Cold Spring Harbor Perspectives in Biology (2019) October 25; doi: 10.1101/cshperspect.a033860
27. K. Marciniuk, R. Taschuk, S. Napper; Evidence for prion-like mechanisms in several neurodegenerative diseases: potential implications for immunotherapy; Clinical and Developmental Immunology Volume 2013, Article ID 473706; <http://dx.doi.org/10.1155/2013/473706>
28. A. Mukherjee, C. Soto; Prion-like protein aggregates and type 2 diabetes; Cold Spring Harbor Perspectives in Medicine (2017) 7:a024315; doi: 10.1101/cshperspect.a024315
29. G. de Brito, F. C. Lupinacci, F. H. Beraldo, T. G. Santos, M. Roffe, M. H. Lopes, V. C. de Lima, V. R. Martins, G. N. Hajj; Loss of prion protein is associated with the development of insulin resistance and obesity; Biochemical Journal (2017) 474: 2981–2991; DOI: 10.1042/BCJ20170137
30. A. Navalkar, S. Ghosh, S. Pandey, A. Paul, D. Datta, S. K. Maji; Prion-like p53 amyloids in cancer; Biochemistry (2019) October 11; DOI: 10.1021/acs.biochem.9b00796
31. F. Orzi, B. Casolla, R. Rocchi, F. Fornai; Prion-like mechanisms in epileptogenesis; Neurol Sci (2012) July 10; DOI 10.1007/s10072-012-1148-0
32. C. Kim, D. J. Morre; Prion proteins and ECTO-NOX proteins exhibit similar oscillating redox activities; Biochemical and Biophysical Research Communications (2004) 315: 1140–1146; doi:10.1016/j.bbrc.2004.02.007
33. D. J. Morre, Z. Jiang, M. Marjanovic, J. Orczyk, D. M. Morre; Response of the regulatory oscillatory behavior of copper II-containing ECTO-NOX proteins and of Cu₂Cl₂ in solution to electromagnetic fields; Journal of Inorganic Biochemistry (2008) 102: 1812–1818; doi:10.1016/j.jinorgbio.2008.06.001
34. А. Е. Акимов; Облик физики и технологии в начале XXI века. Выступление на научно-педагогической конференции "Идеи учения Живая Этика и Тайная Доктрина в современной науке и практической педагогике, Екатеринбург, 08.08.97г. Издательство товарищества "Диспансер", Верхняя Пышма, 1998.
35. Y. Zhua, J. Guoa, A. Zhanga, L. Lib, X. Liua, H. Liua, X. Yaob; How graphene affects the misfolding of human prion protein: A combined experimental and molecular dynamics simulation study; Environmental Research (2019) 171: 1-10; <https://doi.org/10.1016/j.envres.2018.12.057>
36. S. Zhou, Y. Zhu, X. Yao, H. Liu; Carbon nanoparticles inhibit the aggregation of prion protein as revealed by experiments and atomistic simulations; Journal of Chemical Information and Modeling (2019) 59: 1909-1918; DOI: 10.1021/acs.jcim.8b00725
37. Е. С. Виноградова, Ю. Н. Живлюк; Микрокосм человека. М.: НИЦ «Кристалл», 1998. https://www.koob.ru/vinogradova_e_s/mikrokosm_cheloveka, http://www.roerich.com/zip3/_human_mikrokosm_.zip